

III-160 道路交通における沿道の地盤振動に関する一考察

神戸大学 正・北村泰義 学・宮北浩至 勝・森誠一郎

1. まえがき 道路の状況と発生する地盤振動の関係については、主として、道路の不整と直結する自動車の接地荷重の変動によって地盤振動が発生すると考えられる。そこで、自動車の振動特性、路面の不整、地盤の振動特性等に適当なモデル化を行ない、走行車輪による振動の発生および伝達機構に関する検討を行なった。

2. 計算モデル まず、自動車が定常不規則な路面凹凸を一定速度で通過するとその接地荷重の変動を考える。自動車の振動としては、種々の振動成分が考えられるが、本研究では図-1のような2自由度系を考えると、その運動方程式は次式となる。

$$\begin{aligned} M\ddot{x} + C(\dot{x} - \dot{x}_T) + k_e(x - x_T) &= 0 \\ M_T\ddot{x}_T + C_T(\dot{x}_T - \dot{x}) + C(x_T - x) + k_e(x_T - x) &= 0 \end{aligned} \quad (1)$$

(1) 式より路面に対する定常外力(接地荷重) $P(t)$ は

$$P(t) = -\{M\ddot{x}(t) + M_T\ddot{x}_T(t)\} \quad (2)$$

となる。 $x = e^{i\omega t}$, $x_T = H_x(i\omega)e^{i\omega t}$, $\ddot{x} = H_{xx}(i\omega)e^{i\omega t}$, $\ddot{x}_T = H_{xT}(i\omega)e^{i\omega t}$, $P = H_p(i\omega)$ とおき、(1) 式を解けば、(2) 式より路面変位と接地荷重の伝達関数 $H_p(i\omega)$ が求められる。そして、路面の凹凸のパワースペクトル密度を $S_R(\omega)$ とすれば、自動車の接地荷重のパワースペクトル密度 $S_p(\omega)$ は次式で表わされる。

$$S_p(\omega) = |H_p(i\omega)|^2 \cdot S_R(\omega) \quad (3)$$

ところで、一般的路面凹凸のパワースペクトル密度 $S_R(\omega)$ はエリモ想定にもとづいて、 $S_R(\omega) = \alpha \omega^{-n}$ と表わされる。¹⁾ なお、 ω は路面周波数である。しかし、自動車の走行速度 V 一定として、路面周波数と等しい周波数で直すと、 $S_R(\omega)$ は次式として得られる。

$$S_R(\omega) = \alpha V^{-n-1} (\omega/2\pi)^{-n} \quad (4)$$

つまり、路面の伝播速度に比べて車両の走行速度は十分小さいので、自動車は静止振源として取り扱い、測定点に最接近して位置で振動が発生していると考える。この場合、半無限弾性体の表面で、上下方向に正弦波点加振しても Lamb の解が利用できる。²⁾ しかし、その解は複雑であるため、加振点近傍の変動は数値計算によって求めなければならない。田沼晃等は振源距離 r の地表面の上下変位 w を次のようにして表す。³⁾

$$w = P e^{i\omega t} (f_1 + i f_2) / 2\pi G \cdot r \quad (5)$$

したがって、点加振力と振源距離 r における上下方向の振動速度の伝達関数 $H_w(i\omega)$ は次式となる。

$$H_w(i\omega) = (i\omega) (f_1 + i f_2) / 2\pi G \cdot r \quad (6)$$

したがって、点加振力のパワースペクトル密度 $S_p(\omega)$ と地表面の上下方向の振動速度のパワースペクトル密度 $S_w(\omega)$ の関係は次式となる。

$$S_w(\omega) = |H_w(i\omega)|^2 \cdot S_p(\omega) \quad (7)$$

結局、路面の凹凸と地盤振動の関係は(3), (7)式より次式として得られる。

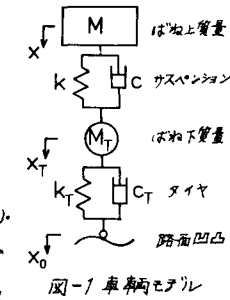
$$S_w(\omega) = |H_p(i\omega)|^2 \cdot |H_w(i\omega)|^2 \cdot S_p(\omega) \quad (8)$$

つまり、実際の地盤振動では確率的かつ不規則であることを考慮して断するところである。そこで、(8)式の $S_w(\omega)$ について、(9)式の $\psi(t)$ をシミュレートする。

$$\psi(t) = \sum_{n=1}^N A_n \sin(\omega_n t - \phi_n) \quad (9)$$

ここで、 $A_n = \{2 \cdot S_w(\omega) \cdot \Delta\omega\}^{1/2}$, $\omega_n = (n - \frac{1}{2}) \cdot \Delta\omega$, $\phi_n: 0 \sim 2\pi$ に一様分布のランダム変数

3. 敷値計算例 表-1 によると車両諸元を用いて、トラック、乗用車の2車種について計算した。計算



結果は計算過程に従って、路

面凹凸のパワースペクトル、
接地荷重の伝達関数、接地荷
重のパワースペクトル、地盤
の上下方向の振動速度の伝達

関数、上下方向振動速度のパワースペクトル、上下方向振動速度の時系列の図-2
～7に示す。なお、この場合の路面状況は図-2の「普通」と「塊」の塊を使用した。

図-7は2.5秒間（車速60km/hで約40m走行）の時系列的一部分を1例に示す
（(a)式の乱数を変えて、各ケースの時系列を求める、それらの最大値の平均を求めて、トラック 2.1mm/s、乗用車 0.5mm/s（検査距離10m
とし）である。その振動速度の比をみると（トラック）/（乗用車）=4.2となる。こ

れはトラックと
乗用車の1車輪
あたりの重量比が
8.0であるK
比べて小さい値
となるといふ。

また、このよう
な循向性車種別
の実測データ⁴⁾ 図-3 接地荷重の伝達関数

においても

見られる。

すなわち、
自動車と路
面の凹凸と
の相互作用
による動的
効果の一端
を説明して
みたがと
考えられる。

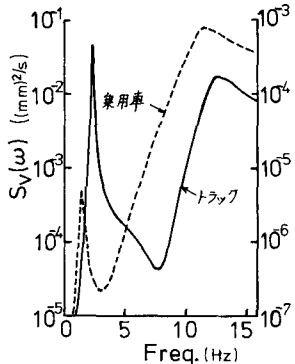


図-3 接地荷重の伝達関数

さらに、(8)式において、車速の影響は $S_r(\omega) \propto$ 車速²、質量、車種の影響は $H_p(\omega) \propto$ 地盤の振動伝達特性の影響は $H_d(\omega) \propto$ 含まれることになる。

4. あとがき 以上、代表的な路面凹凸のスペクトル密度を利かせ、地盤の振動伝達特性を半無限弾性体として求めたところ、実際の地盤振動の状況と大まかにはよく説明できるものと考えられる。したがって、今後の方面の実測資料の準備が望まれることとなる。一方、改善策のようく路面凹凸が不連続である場合には、取り扱いの複雑さを子孫の重要な問題であり、現在検討を進めているので後日報告したい。

参考文献 1) 摘要：自動車技術, Vol. 28, No. 4, 1974, 2) Lamb: Phil. Trans. Roy. Soc. London, Series A, 203, 1904, 3) 野嶋, 田辺是, 市川: 竹中技術研究報告, 第9号, 1970, 4) 例文, 番中: 建設工学研究所報告, No. 10, 1967

表-1 車両の諸元(後輪全体についての値)

諸元 車種	M-g (t)	M _T -g (t)	k (t/m)	k _T (t/m)	c (ts/m)	C _T (ts/m)	タイヤの数 (本)
トラック	8.4	1.2	280	440	1.20	0.90	4
乗用車	0.5	0.1	4.4	44	0.04	0.06	2

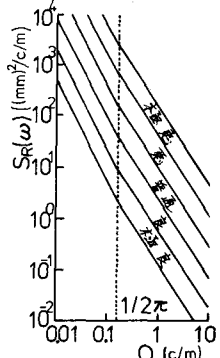


図-2 路面のパワースペクトル
(ISO規格案)

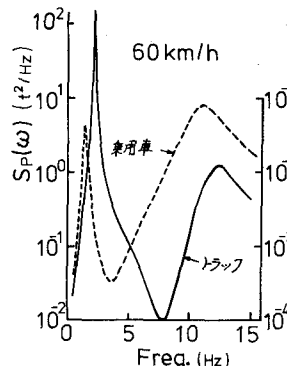


図-4 接地荷重のパワースペクトル

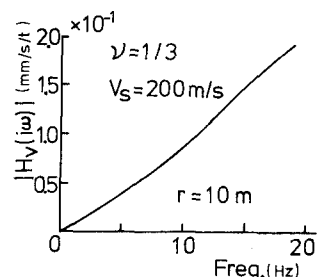


図-5 地盤振動速度の伝達関数
(注) 図-3, 4, 6 の縦軸は
左: トラック, 右: 乗用車である。

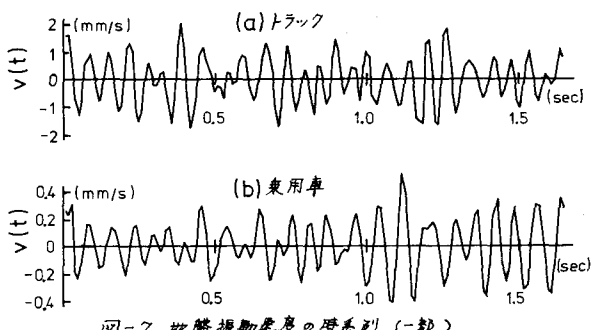


図-6 振動速度のパワースペクトル

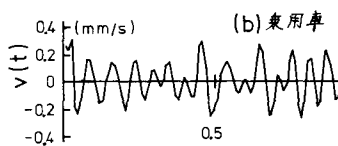
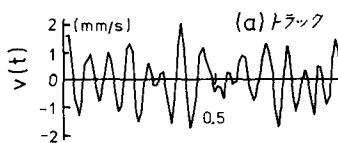


図-7 地盤振動速度の時系列 (一部)